

УДК 537,312,62

©1994

## МИКРОВОЛНОВОЕ ПОГЛОЩЕНИЕ ПРИ ФАЗОВЫХ ПЕРЕХОДАХ В НОРМАЛЬНОМ СОСТОЯНИИ СОЕДИНЕНИЙ 1-2-3 С ДЕФИЦИТОМ КИСЛОРОДА

*Ф.Н.Буханько, Н.А.Дорошенко*

С ростом дефицита кислорода микроволновое сопротивление соединений 1-2-3 при 300 К увеличивается немонотонно: зависимость действительной части поверхностного импеданса образцов иттриевой и диспрозиевой керамики от кислородного индекса, снятая на частоте 9.2 ГГц, модулирована по кислородному индексу и имеет вид лестницы, ступеньки которой соответствуют областям стабилизации тетрагональной, орто-I и орто-II структурных фаз, а пороги соответствуют областям концентрационных фазовых переходов при критических индексах  $y_{c1} = 6.4$  и  $y_{c2} = 6.7$ . В гадолиниевой керамике, согласно поведению импеданса, орто-II фаза не стабилизируется. Обнаружены сингулярности микроволнового сопротивления, структурных параметров и парамагнитной восприимчивости в образцах с дефицитом кислорода с кислородным индексом, близким к критическому значению  $y_{c3} \approx 6.98$ . Частотная зависимость микроволнового поглощения образца иттриевой керамики с критическим значением кислородного индекса  $y_{c3}$  имеет аномальный характер. Пороги микроволнового сопротивления качественно согласуются с теоретической зависимостью эффективной проводимости двухкомпонентной среды металл-диэлектрик вблизи порога протекания. Рассмотрены микроскопические модели структурных фазовых превращений.

Ранее мы провели комплексное исследование влияния содержания кислорода в образце на структурные, проводящие и магнитные свойства нескольких серий образцов иттриевой и диспрозиевой керамик [1-3]. Согласно снятым при 300 К с помощью дифракции рентгеновских лучей зависимостям параметра ромбических искажений  $\eta = (b - a)/(b + a)$  от дефицита кислорода, ромбические искажения кристаллической решетки в закаленных после отжига образцах существовали вплоть до рекордно малой концентрации интеркалированного в  $\text{CuO}$ -плоскостях кислорода, соответствующей индексу  $y = 6.3$ . Исчезновение сверхпроводимости в образцах с индексом, близким к критическому значению  $y_{c1} = 6.4$ , сопровождалось резким увеличением параметра  $C$  кристаллической решетки при сохранении плавности изменений ромбических искажений. Концентрационный переход от орто-I к орто-II ромбической фазе вблизи  $y_{c2} = 6.7$  сопровождался быстрым уменьшением температуры перехода в сверхпроводящее состояние от 90 до 60 К, а также скачком параметра ромбизма без существенных изменений параметра решетки  $C$ . Аналогичные особенности были обнаружены нами в концентрационных зависимостях резонансной магнитной восприимчивости [3]. Как показано в [2], скачки параметров решетки согласуются с фазовой диаграммой, рассчитанной Уайллом [4]

для  $\text{YBa}_2\text{Cu}_3\text{O}_y$ , согласно которой при температуре 300 К вблизи кислородного индекса  $y = 6.5$  находится бикритическая точка фазовой диаграммы, где встречаются две линии переходов II рода и две границы фазовых переходов I рода.

Однако многие авторы не наблюдали никаких признаков фазового перехода I рода при структурных превращениях в соединениях 1-2-3 в широком интервале температур и концентраций кислорода, что побудило нас провести дополнительную проверку полученных ранее результатов с помощью нового метода исследования. В данной работе рассмотрены концентрационные зависимости действительной части микроволнового импеданса  $R(y)$  закаленной после отжига керамики  $(\text{RE})\text{Ba}_2\text{Cu}_3\text{O}_y$  ( $6.2 < y < 7.0$ ) [ $\text{RE} = \text{Y}, \text{Dy}, \text{Gd}$ ], снятых на частоте 9.2 GHz резонансным методом. Обсуждаются также модели структурных превращений, которые, по нашему мнению, частично объясняют полученные нами результаты.

## 1. Методика приготовления образцов и эксперимента

Исходные образцы иттриевой, диспрозиевой и гадолиниевой керамики были синтезированы взаимодействием в интервале температур 750–900 °C нитрата бария и окислов меди, иттрия, диспрозия и гадолиния, взятых в мольном соотношении 2:3:0.5 соответственно. Синтезированный порошок прессовался под давлением  $14 \cdot 10^3 \text{ kg/cm}^2$  в диски размером  $6 \times 1.4 \text{ mm}$  и спекался при температуре 950 °C в течение 14 h с последующим охлаждением со скоростью 80 °C/h до 400 °C с промежуточными выдержками по 2–3 h при температурах 900 и 440 °C. Полученные таблетки иттриевой, диспрозиевой и гадолиниевой керамик представляли собой однофазную, по рентгеновским данным, сверхпроводящую керамику с плотностью 5.77, 6.26, 6.13 g/cm<sup>3</sup> соответственно и температурой перехода в сверхпроводящее состояние  $T_c \approx 90 \text{ K}$ . Для получения образцов с различными значениями кислородного индекса использовался общепринятый метод закалки образцов в жидком азоте после достижения равновесия между кислородом в образце и атмосфере при выбранных температурах отжига в интервале 400–950 °C. Определение кислородного индекса производилось методом термогравиметрии с помощью лабораторных аналитических весов ВЛР-200, позволяющих определять массу образца с точностью не хуже  $\pm 1.5 \cdot 10^{-4} \text{ g}$  [2].

При классическом скин-эффекте в нормальных металлах действительная часть импеданса

$$R = (\omega \mu_0 / 2\sigma)^{1/2},$$

где  $\sigma = ne^2\tau/m$ ,  $n$  — концентрация свободных носителей,  $\tau$  — время их релаксации. Если принять, что дефицит кислорода в образце не влияет существенно на время релаксации свободных носителей, то при измерениях, выполненных на одной частоте, действительная часть импеданса образца ВТСП-металлооксидов зависит только от концентрации свободных носителей и определяется простой формулой

$$R(y) \approx \text{const } n^{-1/2}.$$

Таким образом, при отсутствии дополнительных вкладов в проводимость измерения действительной части сверхвысокочастотного (СВЧ)

импеданса могут быть использованы для бесконтактного определения изменений концентрации свободных носителей в соединениях 1–2–3 с дефицитом кислорода, находящихся в нормальном состоянии.

Исследование концентрационной зависимости микроволнового сопротивления соединений 1–2–3 в данной работе производилось при 300 К на частоте 9.2 GHz, резонансным методом, основанным на измерении изменений параметра  $1/\beta$  цилиндрического медного резонатора, нагруженного тонкими дисками размером  $6 \times 1.4$  mm из ВТСП-керамики с различным составом, где  $\beta$  — коэффициент связи резонатора с передающим микроволновое излучение волноводом. Согласно [5], в случае слабой связи резонатора с волноводом ( $\beta < 1$ ) справедливо соотношение

$$1/\beta = (1 + \sqrt{p})/(1 - \sqrt{p}) = \gamma R + \gamma_c R_c,$$

где  $p = P_r/P_i$ ;  $\gamma, \gamma_c$  — постоянные, зависящие только от размеров резонатора и образца;  $R, R_c$  — действительные части их поверхностного импеданса. При установленной величине коэффициента связи коэффициент отражения  $p$  без образца не зависит существенно от уровня СВЧ мощности и внешних воздействий, поэтому хорошо выполняется соотношение

$$\Delta(1/\beta) = \gamma \Delta R,$$

что позволяет, зная величину  $\gamma$ , определять действительную часть импеданса образца с помощью измерений величины  $1/\beta$ . При слабой связи  $1/\beta$  равняется коэффициенту стоячей волны (КСВ) в волноводе, который измерялся нами с помощью микроволнового измерителя КСВ типа Р2-61 с точностью не хуже  $\pm 0.01$ . Для измерений использовался медный цилиндрический резонатор с внутренним диаметром 48 mm, длиной 20–35 mm, собственной добротностью  $Q_0 = 10^4$ , механически перестраиваемый в диапазоне частот 9–12 GHz. Связь с волноводом регулировалась с помощью перемещений тефлонового клина вблизи отверстия связи. Образцы исследуемой керамики помещались с помощью тефлоновой вставки в центр резонатора в пучность магнитной компоненты  $H_{011}$ -моды возбуждаемых электромагнитных колебаний. На основе измерений КСВ при 300 К были получены зависимости параметров резонатора  $1/\beta$  и  $p$  от кислородного индекса и частоты измерительного электромагнитного поля, с помощью которых были затем построены концентрационные и частотные зависимости действительной части импеданса исследуемых образцов  $R(y)$  и  $R(f)$ , выраженной в относительных единицах.

## 2. Экспериментальные результаты

Внесение тонкого медного диска в пучность магнитной компоненты  $H_{011}$ -моды цилиндрического резонатора, возбуждаемой на частоте 9.2 GHz, практически не влияло на добротность резонатора. Замена медного диска на диски из сверхпроводящей керамики с кислородным индексом, близким к 7, сопровождалась небольшим увеличением микроволновых потерь. При этом параметр  $1/\beta$ , характеризующий СВЧ сопротивление образцов, менялся от значения 1.6 для меди до значений 2.04, 2.26, 2.28 для образцов иттриевой, диспрозиевой и гадолиниевой керамик соответственно. Образцы керамик с кислородным

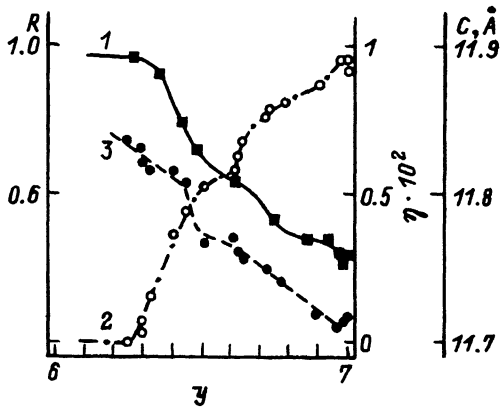


Рис. 1. Концентрационные зависимости микроволнового сопротивления  $R$  (1), параметров кристаллической решетки  $\eta$  (2) и  $C$  (3) образцов иттриевой керамики при 300 К на частоте 9.2 GHz.

индексом, близким к  $y = 6.25$ , сильно поглощали электромагнитную энергию, что соответствовало увеличению их микроволнового сопротивления и сопровождалось значительным ростом коэффициента отражения  $r$  и параметра  $1/\beta$  измерительного резонатора.

Как видно из рис. 1, СВЧ сопротивление  $R(y)$  образцов иттриевой керамики с увеличением дефицита кислорода растет немонотонно: зависимость импеданса от кислородного индекса имеет вид лестницы, ступеньки которой соответствуют областям стабилизации тетрагональной, орто-I и орто-II структурных фаз, а пороги соответствуют областям концентрационных фазовых переходов, имеющих признаки переходов I рода. Обращает на себя внимание когерентность изменений микроволнового сопротивления образцов с изменениями структурных параметров иттриевой керамики, исследованными нами ранее в работе [2]. Резкое увеличение  $R(y)$  вблизи кислородного индекса  $y_{c1} = 6.4$  соответствует фазовому переходу металл-полупроводник, который сопровождается скачком параметра  $C$  кристаллической решетки в узком интервале концентраций кислорода вблизи критического значения кислородного индекса и уменьшением до нуля параметра ромбических искажений  $\eta$ , размазанным в широком интервале значений кислородного индекса. Переход из орто-I в орто-II фазу вблизи кислородного индекса  $y_{c2} = 6.7$  также сопровождается скачками ми-

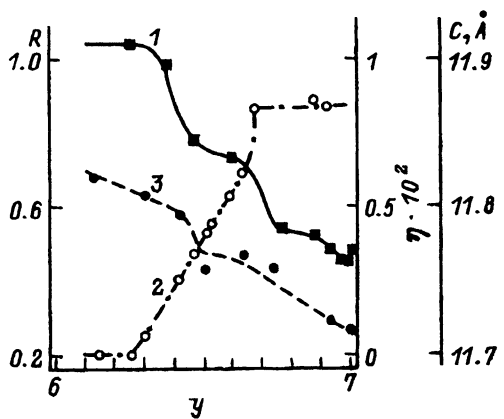


Рис. 2. Концентрационные зависимости микроволнового сопротивления  $R$  (1), параметров кристаллической решетки  $\eta$  (2) и  $C$  (3) образцов диспрозиевой керамики при 300 К на частоте 9.2 GHz.

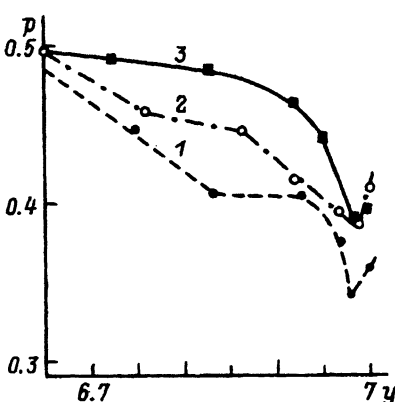


Рис. 3. Сингулярность в зависимостях коэффициента отражения тонких дисков из иттриевой (1), диспрозиевой (2) и гадолиниевой (3) керамик от кислородного индекса вблизи критического значения  $y_{c3}$  на частоте 9.2 GHz.

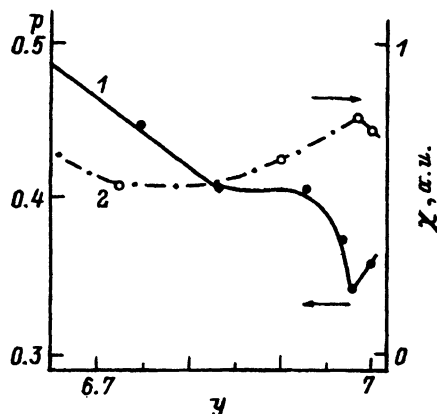


Рис. 4. Зависимости коэффициента отражения  $p$  (1) и парамагнитной восприимчивости  $\chi$  (2) образцов иттриевой керамики от кислородного индекса при 300 К на частоте 9.2 GHz.

кроволивного импеданса образцов и параметров кристаллической решетки.

Тесная связь между изменениями высокочастотного сопротивления и структурными фазовыми переходами установлена нами и в образцах диспрозиевой керамики (рис. 2). Согласно полученным результатам, стабилизация орто-II фазы в образцах иттриевой и диспрозиевой керамик происходит в относительно узком интервале концентраций кислорода вблизи значений  $y = 6.5$  и, по-видимому, отсутствует в гадолиниевой керамике, где не формируется плато в зависимости импеданса от кислородного индекса.

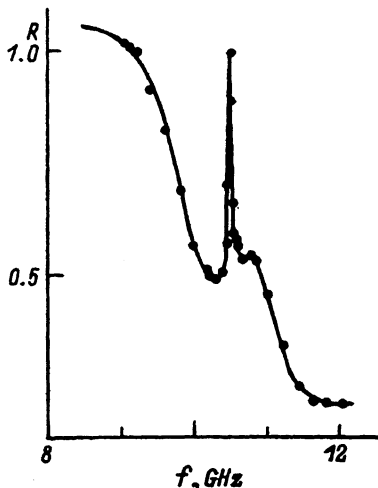


Рис. 5. Частотная зависимость микроволнового сопротивления тонкого диска из  $\text{YBa}_2\text{Cu}_3\text{O}_{6.98}$  в пучности моды  $H_{011}$  цилиндрического резонатора при 300 К.

Особый интерес представляют обнаруженные нами особенности в концентрационных зависимостях микроволнового сопротивления  $R(y)$  структурных параметров и парамагнитной восприимчивости образцов соединений 1–2–3 от содержания кислорода вблизи критического значения кислородного индекса  $y_{c3} = 6.98$  (рис. 1–4). Минимум поверхностного импеданса иттриевой керамики в орто-I фазе хорошо коррелирует с аномальным пиком резонансной магнитной восприимчивости вблизи  $y = 7.0$ , обнаруженым нами ранее в гранулированных образцах Y–Ba–Cu–O с дефицитом кислорода [3]. Минимумы высокочастотного сопротивления слегка смещались при изменении частоты измерительного электромагнитного поля. В связи с этим мы сняли частотную зависимость импеданса тонкого диска иттриевой керамики с кислородным индексом  $y_{c3} = 6.98$ .

Полученная при 300 К зависимость параметра  $R(f)$  от частоты необычна (рис. 5). Наличие излома частотной зависимости и узкого пика поглощения вблизи 10 GHz можно объяснить резонансным возбуждением моды  $E_{210}$  цилиндрического резонатора и собственного колебания образца. В то же время резкая дисперсия поверхностного импеданса образца иттриевой керамики с кислородным индексом  $y_{c3} = 6.98$  в узком интервале частот 9–12 GHz, носит релаксационный характер и, по-видимому, вызвана резонансным возбуждением в образце затухающих микроволновых колебаний неизвестной природы.

### 3. Обсуждение

В соединениях 1–2–3 с дефицитом кислорода структурный переход из неупорядоченной тетрагональной фазы в упорядоченную орторомбическую сопровождается электронным переходом полупроводник–металл. Известно, что вблизи перехода диэлектрик–металл многие соединения состоят из случайно распределенных диэлектрических и металлических областей. Часть объема, занимаемая металлическими областями, увеличивается при изменениях некоторых физических параметров (состав, температура), и переход диэлектрик–металл происходит, когда эта часть соответствует порогу протекания для металлических областей. Для описания эффективной электропроводности таких неоднородных систем удобно использовать модели «решеток со случайно оборванными связями» [6]. Согласно этим моделям, протекание между металлическими областями возникает при достижении концентрации связей между областями порогового значения  $x_c$ . Поведение эффективной проводимости и диэлектрической проницаемости двухкомпонентных систем вблизи перехода металл–неметалл в рамках теории протекания хорошо описана в [7,8]. В простейшем случае нулевой проводимости на постоянном токе диэлектрических областей  $\sigma(x) = 0$  для  $x < x_c$ , тогда как для  $x > x_c$  проводимость  $\sigma(x) = \sigma_M(x - x_c)^t$ , где  $\sigma_M$  — проводимость решетки со всеми связями ( $x = 1$ );  $t$  — критический индекс, величина которого зависит от размерности решетки. Учет конечной проводимости  $\sigma_D$  диэлектрической фазы приводит к более сложной зависимости эффективной проводимости на постоянном токе от двух параметров  $\tau = x - x_c$  и  $h = \sigma_D/\sigma_M$ . Получено, что при  $h = 10^{-5}$  зависимость электропроводности от концентрации металлической фазы терпит разрыв при  $x = x_c$ . Концентра-

ционная зависимость  $\sigma$  двухкомпонентной среды в переменном электромагнитном поле в простейшем случае  $\sigma_D^0 = 0$  имеет вид

$$\operatorname{Re} \sigma(\omega, x) = \omega^2 \varepsilon_0^2 / 4\pi \sigma_M^0 \tau^p, \quad x < x_c,$$

$$\operatorname{Re} \sigma(\omega, x) = \sigma_M^0 \tau^t, \quad x > x_c,$$

где  $\sigma_D^0$  и  $\sigma_M^0$  — проводимости диэлектрика и металла на постоянном токе;  $p$  и  $t$  — критические индексы, зависящие только от размерности системы. Построенные в [8] зависимости эффективной электропроводности от концентрации связей  $x$  вблизи перехода диэлектрик–металл имеют вид порогов, крутизна которых определяется значением параметра  $h$ .

Полученный нами экспериментально двухступенчатый характер концентрационной зависимости микроволнового сопротивления

$$R(y) = [\omega \mu_0 / 2\sigma(y)]^{1/2}$$

соединений 1–2–3 от кислородного индекса качественно согласуется с теоретической степенной зависимостью эффективной проводимости неоднородной среды в переменном поле вблизи порога протекания, если принять, что  $y = 6 + x$ . Так как в нормальном состоянии соединений 1–2–3 сверхвысокочастотное сопротивление  $R(y) \sim n^{-1/2}$ , то полученная нами немонотонная зависимость  $R(y)$  свидетельствует о том, что и концентрационная зависимость  $n(y)$  носит двухступенчатый характер, что хорошо согласуется с результатами холловских и рентгеновских измерений [9, 10]. Из рис. 3, 5 видно, что пороги протекания совпадают с границами устойчивости метастабильной орто-II фазы, поэтому представляло интерес выяснить связь между порогами протекания и структурными превращениями в соединениях 1–2–3 с дефицитом кислорода. Для описания процесса формирования упорядоченных микроструктур в соединениях 1–2–3 вследствие заполнения CuO-слоев кислородом в ряде работ была использована двумерная модель Изинга формирования «бесконечного» кластера в CuO-слоях, что позволило произвести строгий расчет фазовой диаграммы Y–Ba–Cu–O [4, 11, 12], согласно которому при 300 К существуют только две стабильные орто-I и орто-II ромбические структуры. На основании данных электронной микроскопии и дифракции электронов в [13] установили, что орто-II сверхструктура возникала в малых объемах образцов Y–Ba–Cu–O с широким диапазоном значений кислородного индекса, а в основном формировалась в образцах с индексом, близким  $y = 6.5$ . Образцы с  $y < 6.5$  были двухфазными материалами, содержащими тетрагональную фазу и орто-II сверхструктуру, возникающую вследствие упорядочения кислородных вакансий, тогда как образцы с  $y > 6.5$  состояли из смеси орто-I и орто-II областей. Только в образцах, нагретых в вакууме и быстро охлажденных, были обнаружены более сложные одномерные сверхструктуры, такие как 3a, 4a и 5a. На основании полученных результатов авторы предположили, что переход порядок–беспорядок в керамике Y–Ba–Cu–O с ростом дефицита кислорода происходит в три стадии. На первом этапе разрушается корреляция между последовательными двумерными конфигурациями в

$\text{CuO}$ -плоскостях, связанными с существованием в образцах с кислородным индексом  $y > 6.5$  двух орто-I и орто-II сверхструктур. Далее взаимодействие между  $\text{Cu}-\text{O}$ -цепочками становится короткодействующим и дальний порядок окончательно разрушается, но сохраняются ближний порядок внутри цепочек, а также их предпочтительная ориентация вдоль  $b$ -оси, что приводит к сохранению ромбизма кристаллической решетки, хотя и значительно меньшему, чем в исходных образцах. На последнем, третьем, этапе порядок внутри цепочек полностью разрушается и короткие  $\text{Cu}-\text{O}$ -сегменты формируются вдоль двух направлений в  $\text{CuO}$ -плоскостях, что приводит к тетрагональной дифракционной картине.

Поэтапный характер образования сверхструктур сопровождается также поэтапными изменениями электронной структуры соединений 1–2–3. Согласно результатам, полученным для  $\text{NbBa}_2\text{Cu}_3\text{O}_y$  с помощью нейтронной спектроскопии [14], образование кислородных вакансий в  $\text{Cu}-\text{O}$ -цепочках индуцирует смещение двух мостиковых кислородов из удельных позиций вдоль  $O$ -оси на расстояние  $\Delta z \simeq 0.1 \text{ \AA}$ , что приводит к повышению отрицательной плотности заряда на  $O(2)$ -позиции на 10%. Это соответствует перераспределению заряда в терминах механизма переноса электронов от цепочек к плоскостям. Конечный эффект этого механизма — уменьшение концентрации дырок в  $\text{CuO}_2$ -плоскостях. Статистическое рассмотрение, проведенное в [14], показало, что для  $y = 6.75$  большинство плоскостей подвержено перераспределению зарядов, что согласуется с быстрым уменьшением  $T_c$  в интервале концентраций  $6.7 < y < 6.8$ . Максимальное уменьшение концентрации дырок происходит вблизи  $y = 6.4$ , где пропадает сверхпроводимость. Таким образом, согласно [14], подавление сверхпроводимости не совпадает с  $O-T$  переходом, что было обнаружено нами ранее [1,2]. Рассмотренный механизм поэтапного индуцирования кислородными вакансиями переноса отрицательного заряда от  $\text{Cu}-\text{O}$ -цепочек к  $\text{CuO}_2$ -плоскостям качественно объясняет двухступенчатый характер увеличения  $R(y)$  с ростом дефицита кислорода, установленный в настоящей работе.

Рассмотренные выше модели поэтапного упорядочения не объясняют, однако, таких деталей структурных фазовых превращений, как двойникование, расслоение фаз, и не дают четкого ответа на вопрос о причинах обнаруженных нами признаков фазовых переходов I рода на границах спинодального расслоения фаз. В этой связи представляет интерес рассмотреть отдельно модели двойникования и расслоения фаз.

Согласно [15,16], соединения 1–2–3 практически во всей области изменений концентрации кислорода являются спинодальной композицией двух фаз: тетрагональной ( $T$ ) и орторомбической ( $O$ ) с разной стехиometрией по кислороду. Модель [16] рассматривает упорядочение тетрагональной фазы, которое приводит к возникновению и росту ромбических доменов вдоль направления [110] с последующим образованием микроблоков ромбических и тетрагональных тонких слоев толщиной несколько десятков нанометров. Внедрение в  $\text{CuO}$ -плоскости кислорода сопровождается возникновением локальных деформаций внутри плоскостей  $\text{BaO}$ ,  $\text{CuO}_2$  и вдоль оси  $C$ , которые могут изменять характер фазовых превращений вблизи спинодальных границ растворо-

римости. Согласно этой модели, расслоение смеси  $T-O$  фаз на спинодальных границах фазовой диаграммы должно носить характер распада, характерного для термоупругих мартенситных превращений, т.е. происходить скачком. На основании рассмотренной модели расслоения фаз можно утверждать, что скачки параметров кристаллической решетки  $C$  и  $\eta$  на спинодальных границах орто-II фазы обусловлены появлением в нестехиометрических образцах сильных локальных напряжений. С увеличением кислородного содержания толщина ромбических слоев постепенно возрастает до критической, после чего направление роста ромбических областей меняется на  $90^\circ$  и возникают двойники, чередующиеся со слоями тетрагональной фазы, толщина которых с ростом концентрации кислорода плавно уменьшается. Минимум свободной энергии смешанного состояния, связанный с размерами чередующихся слоев фаз, определяется соотношением между энергией деформации решетки и поверхностной энергией двух решеток. Это соотношение зависит от температуры, давления газообразного кислорода и других параметров. Возникновение наиболее стабильного смешанного состояния, характеризуемого минимумом свободной энергии, должно проявиться как фазовый переход с возможными аномалиями различных свойств керамики [17]. Этот вывод согласуется с результатами исследования дифракции электронов [18], согласно которым при кислородной концентрации  $y = 6.85$  микроструктура образца представляет собой смесь ( $O + T$ ) либо ( $O_I + O_{II}$ ) фаз. Для образцов с высоким содержанием кислорода теряет смысл говорить о фазовом расслоении, так как объем, занимаемый метастабильными фазами, стремится к нулю. По-видимому, имеет смысл говорить только о границах двойниковской структуры, ширина которых и электронные свойства сильно зависят от дефицита кислорода, температуры, давления и других внешних факторов. По данным рентгеновской спектроскопии [10], увеличение содержания кислорода в высокооксидированных ВТСП-керамиках для  $y > 6.93$  приводит к трансформации состояния меди  $Cu^{2+}$  в  $d-p$ -гибридизированное состояние  $Cu^{2+}-O^-$ , что согласуется с обнаруженными нами особенностями проводимости и магнитной восприимчивости вблизи  $y_{c3} = 6.98$ . Возникновение этих особенностей, по-видимому, можно отнести к возникновению сингулярности Ван Хова функции плотности состояний  $N(y)$ , связанной с неустойчивостью спектра носителей при половинном заполнении зоны Бриллюэна. Следует отметить, что аналогичные аномалии наблюдались в температурных зависимостях низкочастотного сопротивления и магнитной восприимчивости в низкоразмерных металлах вблизи перехода образцов в состояние волны зарядовой плотности. Однако вопрос о возможности образования волны зарядовой (спиновой) плотности в соединениях 1–2–3 с дефицитом кислорода требует отдельного экспериментального и теоретического исследования.

### Список литературы

- [1] Буханько Ф.Н., Дорошенко Н.А., Каменев В.И. и др. // Препринт ДонФТИ АН СССР. Донецк, 1989. № 89-56. 41 с.
- [2] Буханько Ф.Н., Дорошенко Н.А., Каменев В.И. и др. // ФТТ. 1991. Т. 33. № 6. С. 1754–1761.
- [3] Буханько Ф.Н., Дорошенко Н.А., Лукьяненко Л.В. // ФНТ. 1991. Т. 17. № 10. С. 1307–1310.

- [4] Wille L.T., Berera A., de Fontaine D. // Phys. Rev. Lett. 1988. V. 60. N 11. P. 1065–1068.
- [5] Li Q., Rigby K.W., Rzihowski M.S. // Phys. Rev. B. 1989. V. 39. N 10. P. 6607–6611.
- [6] Шкловский Б.И., Эфрос А.А. Электронные свойства легированных полупроводников. М., 1979. 416 с.
- [7] Efros A.L., Shklovskii B.J. // Phys. Stat. Sol. (b). 1976. V. 76. N 2. P. 475–485.
- [8] Webmen J., Jortner J., Cohen M.H. // Phys. Rev. B. 1975. V. 11. N 8. P. 2885–2892.
- [9] Физические свойства высокотемпературных сверхпроводников / Под ред. Д.М. Гинзберга. М., 1990. 543 с.
- [10] Tolentino H., Dartype E., Fontaine A. et al. // Phys. Lett. A. 1989. V. 139. N 9. P. 474–479.
- [11] McKinnon W.R., Post M.L., Selwyn L.S. // Phys. Rev. B. 1988. V. 38. N 10. P. 6543–6553.
- [12] Binder K., Landay D.P. // Phys. Rev. B. 1980. V. 21. N 5. P. 1941–1962.
- [13] Reyes-Gasga J., Krekels T., van Tendeloo G. et al. // Sol. St. Commun. 1989. V. 70. N 4. P. 269–273.
- [14] Furrer A., Allenspach P. // J. Phys. C. 1989. V. 4535. N 23. P. 3715–3720.
- [15] Khachaturyan A.G., Semenovskaya S.V., Morris J.W. // Phys. Rev. B. 1988. V. 37. N 4. P. 2243–2245.
- [16] Hiroi Z., Takano M., Bando Y. // Sol. St. Commun. 1989. V. 69. N 3. P. 223–228.
- [17] Гусаковская И.Г., Пирумова С.И., Автомян Л.О. // СФХТ. 1990. Т. 3. № 9. С. 1969–2132.
- [18] Werder D.J., Chen C.H., Cava R.J. // Phys. Rev. B. 1988. V. 38. N 7. P. 5130–5135.

Донецкий физико-технический  
институт АН Украины

Поступило в Редакцию  
20 октября 1992 г.  
В окончательной редакции  
1 февраля 1994 г.